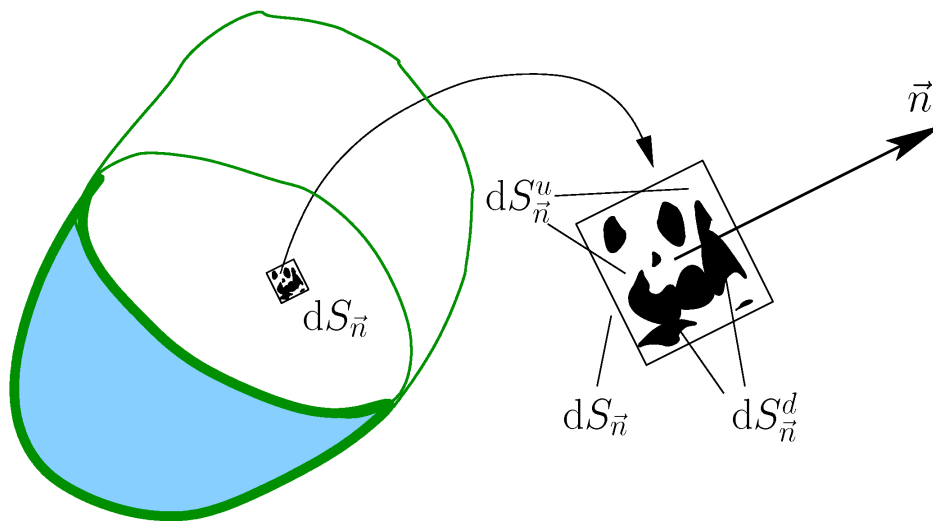




# Pojęcie uszkodzenia [1-4]

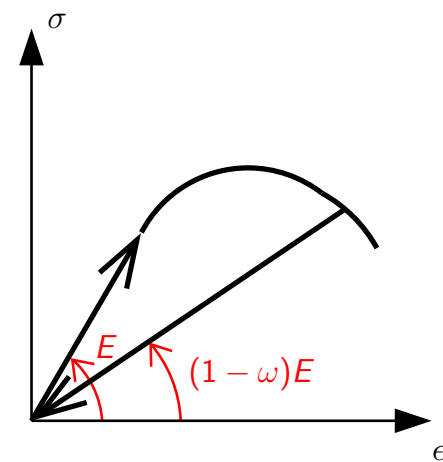
Miara uszkodzenia mikrostruktury pod obciążeniem (*damage*)



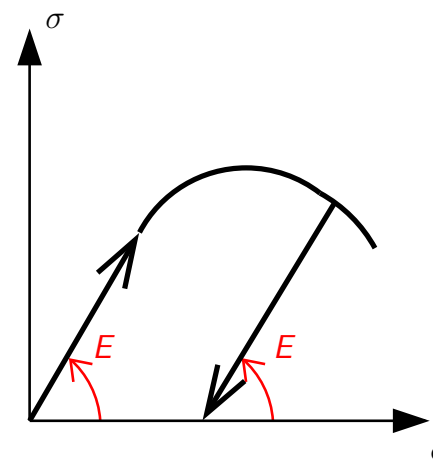
$$dS_{\vec{n}} = dS_{\vec{n}}^d + dS_{\vec{n}}^u \quad \omega(\vec{n}) = \frac{dS_{\vec{n}} - dS_{\vec{n}}^u}{dS_{\vec{n}}} = \frac{dS_{\vec{n}}^d}{dS_{\vec{n}}}$$

## Mechanika uszkodzeń a teoria plastyczności

Uszkodzenie → degradacja sztywności sprężystej



Mechanika uszkodzeń



Teoria plastyczności

# Możliwości opisu uszkodzenia

## Związek konstytutywny

### Uszkodzenie anizotropowe

Równanie konstytutywne dla tensora uszkodzenia czwartego rzędu:

$$\boldsymbol{\sigma} = (\mathbf{I} - \boldsymbol{\Omega}) : \mathbf{D}^e : \boldsymbol{\epsilon}$$

### Uszkodzenie izotropowe

Równanie konstytutywne dla opisu dwuparametrowego:

$$\boldsymbol{\sigma} = (\mathbf{I} - \boldsymbol{\Omega}) : \mathbf{D}^e : \boldsymbol{\epsilon}; \quad \boldsymbol{\Omega} = \omega_1 \mathbf{1} \otimes \mathbf{1} + \omega_2 \mathbf{I}$$

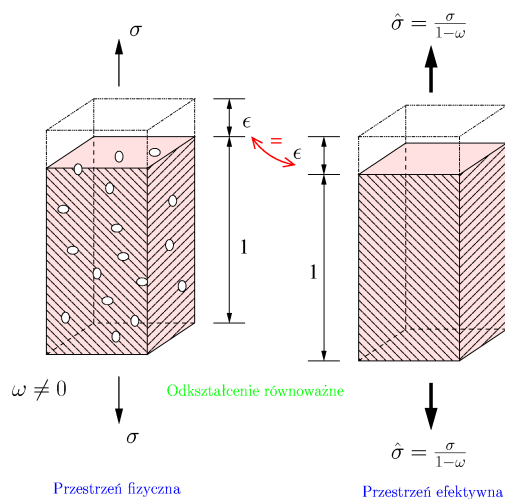
Równanie konstytutywne dla opisu **skalarne**go:

$$\boldsymbol{\sigma} = (1 - \omega) \mathbf{D}^e : \boldsymbol{\epsilon}$$

# Równoważność odkształceń – napężenie efektywne

## Postulat

Odkształcenie związane ze stanem uszkodzonym ciała pod wpływem danego naprężenia odpowiada odkształceniu związanemu ze stanem nieuszkodzonym tego ciała pod wpływem naprężenia efektywnego.



## Równoważność

$$\boldsymbol{\epsilon} = \hat{\boldsymbol{\epsilon}}$$

## Naprężenie efektywne

$$\boldsymbol{\sigma} = (1 - \omega) \hat{\boldsymbol{\sigma}}$$

$$\hat{\boldsymbol{\sigma}} = E \hat{\boldsymbol{\epsilon}}$$

# Skalarny model mechaniki uszkodzeń

## Opis w przestrzeni odkształceń

### Funkcja uszkodzenia w przestrzeni odkształceń

$$f^d = \tilde{\epsilon}(\epsilon) - \kappa^d = 0$$

$\tilde{\epsilon}$  – odkształcenie równoważne

$\kappa^d$  – parametr historii uszkodzenia

### Warunki obciążenie-odciążenie

$$\dot{\kappa}^d \geq 0, \quad f^d \leq 0, \quad \dot{\kappa}^d f^d = 0$$

Dla redukcji zależności wyników obliczeń od gęstości siatki MES (rozmiaru elementu  $h^e$ ) stosuje się uśrednianie miary odkształcenia  $\tilde{\epsilon} \rightarrow \bar{\epsilon}$  (model nielokalny).

## Definicje odkształcenia równoważnego

### Powierzchnie uszkodzenia

- ▶ Miara energii sprężystej

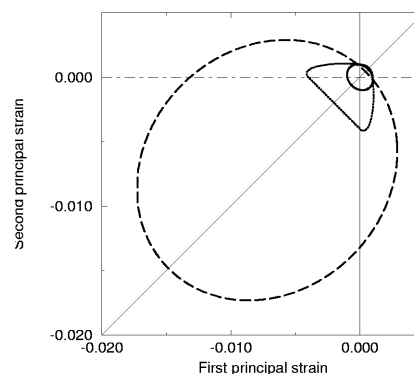
$$\tilde{\epsilon} = \sqrt{\frac{1}{E} \epsilon : \mathbf{D}^e : \epsilon}$$

- ▶ Miara dodatnich odkształceń głównych (definicja Mazarsa)

$$\tilde{\epsilon} = \sqrt{(h(\epsilon_1))^2 + (h(\epsilon_2))^2 + (h(\epsilon_3))^2}$$

- ▶ Zmodyfikowane kryterium Hubera-Misesa-Hencky'ego (*modified von Mises*)

$$\tilde{\epsilon} = \frac{k-1}{2k(1-2\nu)} h_1 + \frac{1}{2k} \sqrt{\left(\frac{k-1}{1-2\nu} h_1\right)^2 + \frac{12k}{(1+\nu)^2} J_2}$$

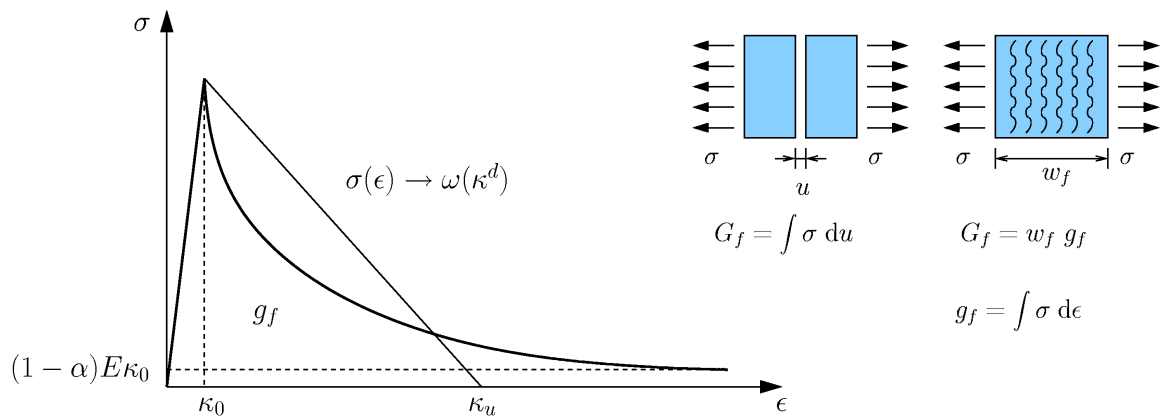


# Funkcje wzrostu uszkodzenia

## Przykłady

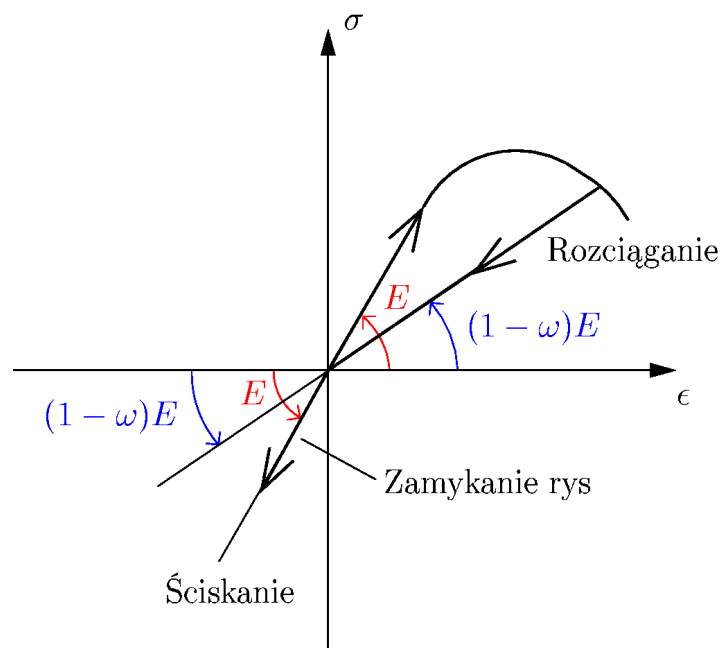
$$\omega = \omega(\kappa^d)$$

- ▶ Osłabienie liniowe
- ▶ Osłabienie eksponencjalne:  $\omega(\kappa^d) = 1 - \frac{\kappa_0}{\kappa^d} \left( 1 - \alpha + \alpha e^{-\eta(\kappa^d - \kappa_0)} \right)$

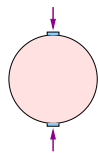


## Zjawisko zamykania rys

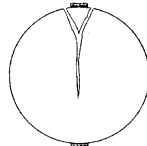
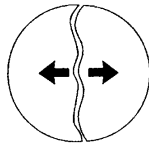
Jaka sztywność przy ściskaniu po zarysowaniu?



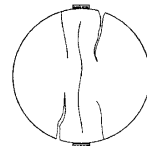
# Brazylijski test rozłupywania próbki



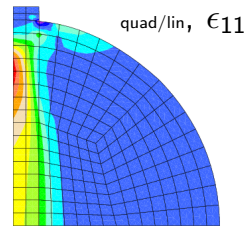
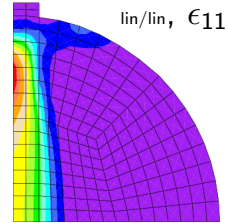
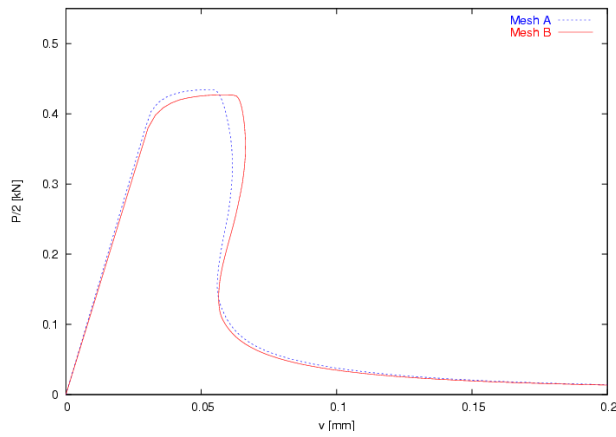
Idealizacja rozłupywania



Klinowanie



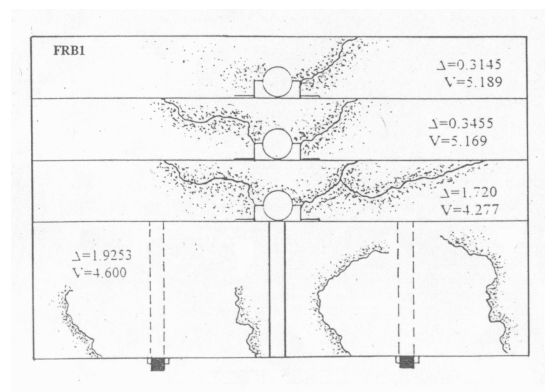
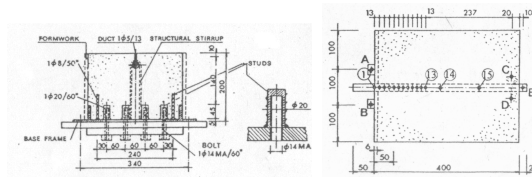
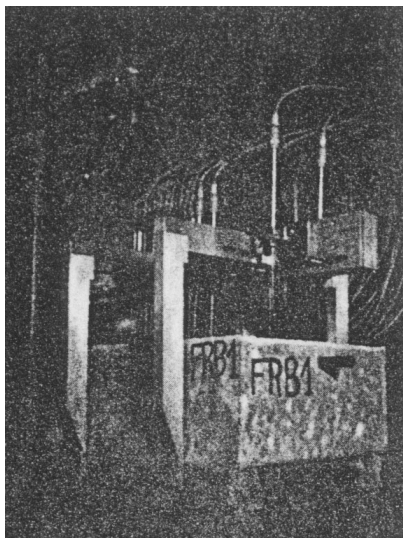
Rysy pierwotne i wtórne



Ewolucja miary odkształcenia  $\bar{\epsilon}$

# Test kołkowego działania zbrojenia [5]

## Eksperyment



# Końkowe działanie zbrojenia – symulacja

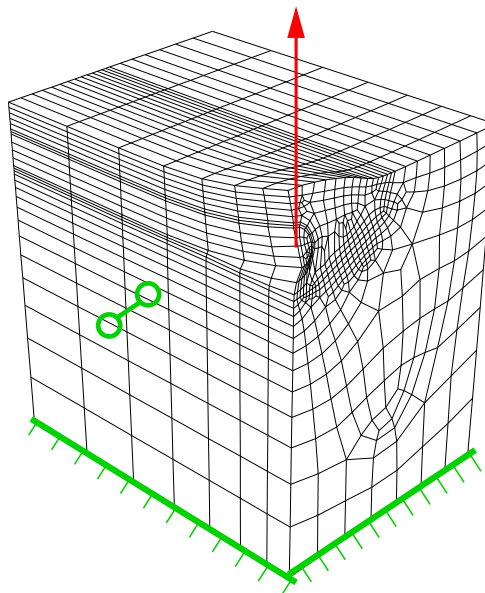
## Dane geometryczne, warunki brzegowe, założenia upraszczające

Wymiary całego obszaru:

	mm
Długość	400
Szerokość	300
Wysokość	200

### Założenia:

- ▶ pionowa płaszczyzna symetrii przez oś pręta
- ▶ pominięta w obliczeniach tylna połowa obszaru
  1. płaszczyzna przekroju bez więzów
  2. w płaszczyźnie przekroju zablokowane przemieszczenie poziome, równoległe do pręta
- ▶ interfaza pomiędzy betonem i prętem zbrojeniowym



SOKI, BIM, 2020   

# Końkowe działanie zbrojenia – symulacja

## Dane materiałowe

### Beton: mechanika uszkodzeń

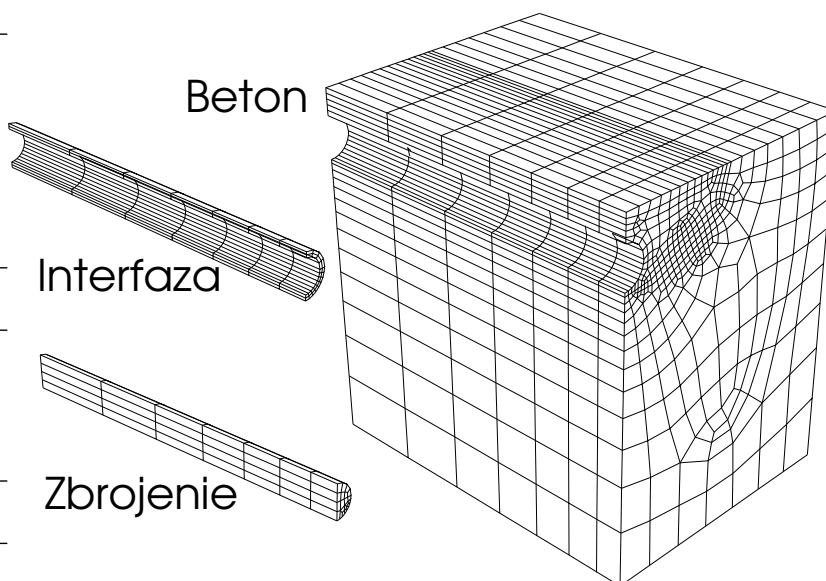
Moduł Younga:  $E_C = 35600$  MPa  
Współcz. Poissona:  $\nu = 0.2$   
Wytrż. na rozciąganie:  $f_t^* = 3.64$  MPa  
Wytrż. na ściskanie:  $f_c = k \cdot f_t^*$ ,  $k = 10$   
Ost. eksponencjalne  $\alpha = 0.98$   $\eta = 550$   
Energia pęknięcia:  $G_f = 0.0867$  N/mm  
Wewn. skala długości:  $l = 2\sqrt{2}$  mm  
Próg uszkodzenia:  
 $\kappa_O = 10.225 \times 10^{-5}$

### Interfaza: mechanika uszkodzeń

Moduł Younga:  $E_C^* = E_C / 2$   
Wytrż. na rozciąganie:  $f_t^* = 2.912$  MPa  
Ost. eksponencjalne  $\alpha = 0.98$   $\eta = 450$   
Próg uszkodzenia:  
 $\kappa_O = 16.36 \times 10^{-5}$

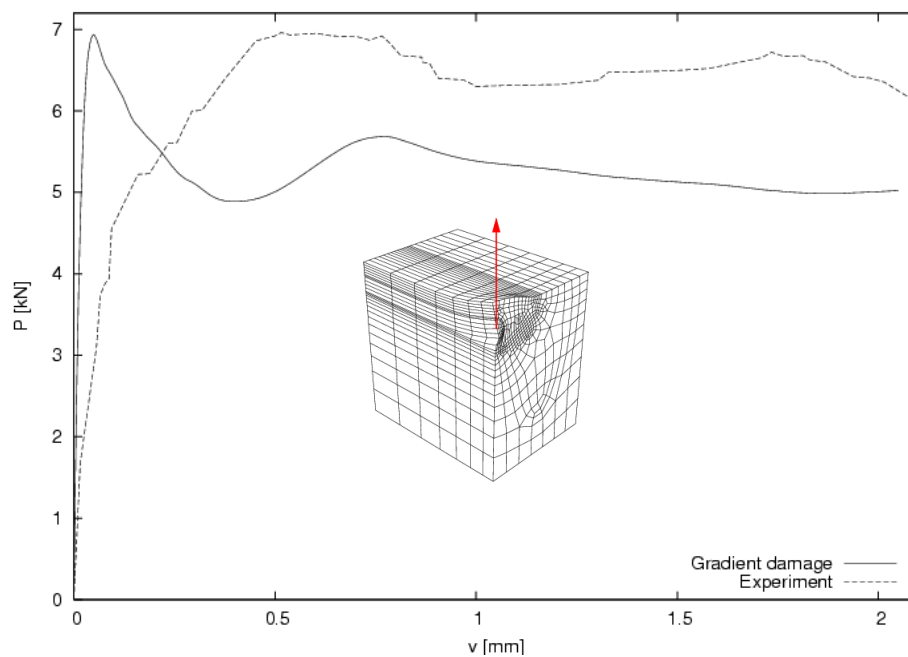
### Zbrojenie: stal sprężysta

Moduł Younga:  $E_S = 206000$  MPa  
Współcz. Poissona:  $\nu = 0.3$



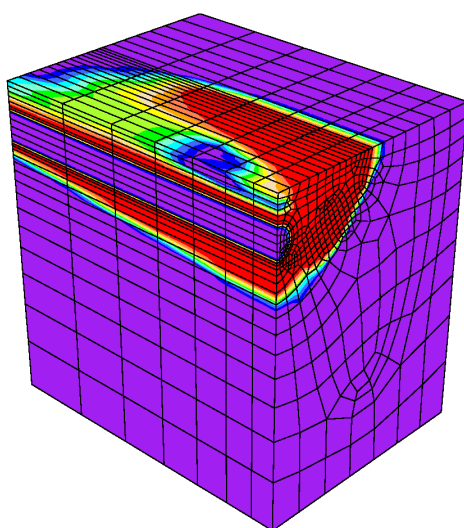
SOKI, BIM, 2020   

## Test działania kołkowego zbrojenia

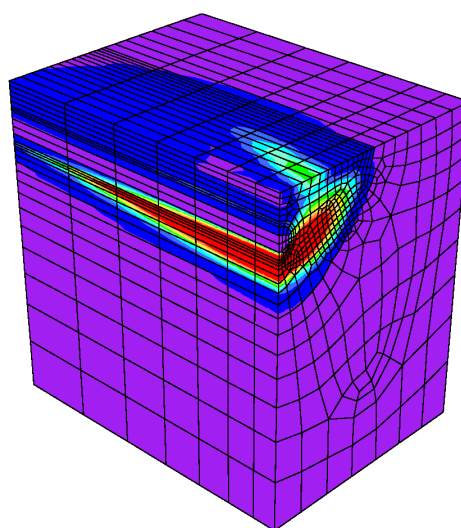


SOKI, BIM, 2020   

## Wyniki dla fazy końcowej



Uszkodzenie



Uśrednione odkształcenie

W modelu nielokalnym szerokością strefy uśredniania odkształceń można sterować za pomocą tzw. wewnętrznego parametru długości.

SOKI, BIM, 2020   



# Zakres mechaniki uszkodzeń i mechaniki pękania

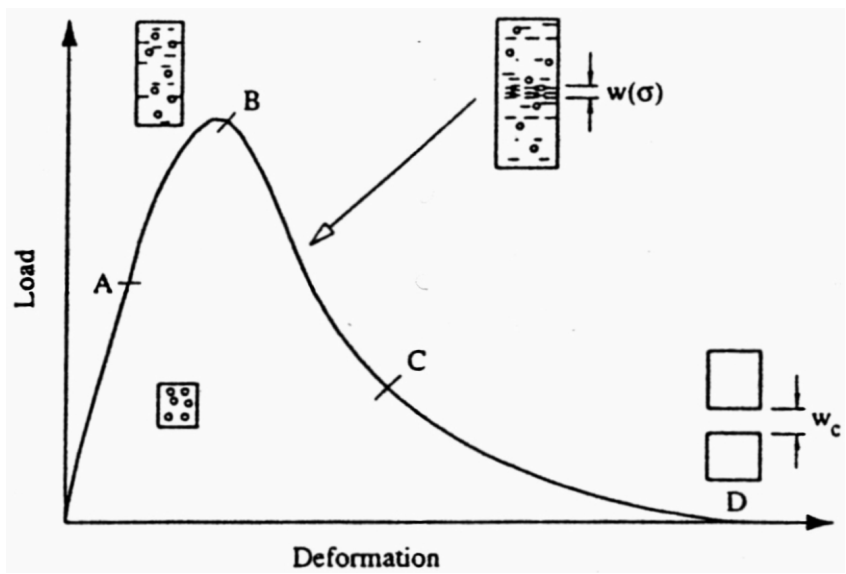
PROCES USZKODZENIA			PROCES PĘKANIA		
Stan początkowy	Mikro-uszkodzenia	Makro-uszkodzenia	Rysy dyskretne	Dociążenie	Całkowite zniszczenie
Mikrorysy Mikrodefekty Ubytki Niejednorodności	Łączenie → Wzrost → Propagacja	Makrorysy Degradacja materiału	Propagacja → Wzrost → Łączenie	Koncentracja naprężeń Rysy wtórne	

MECHANIKA USZKODZEŃ

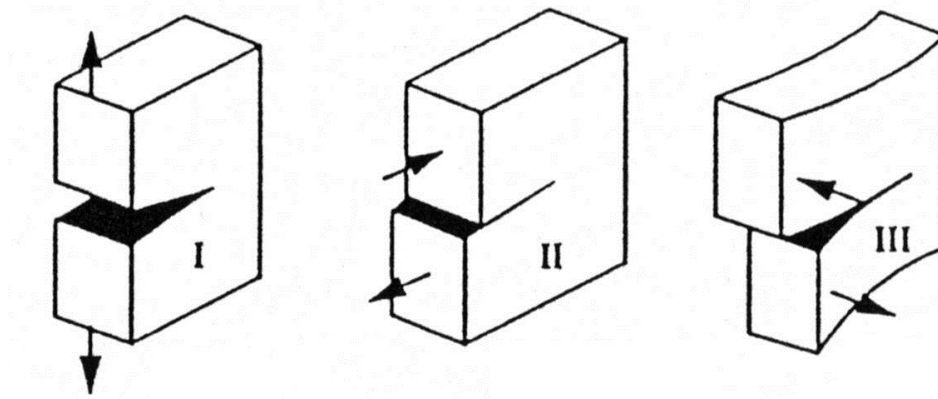
MECHANIKA PĘKANIA

## Zakres mechaniki uszkodzeń i mechaniki pękania [6]

Uszkodzenie kontinuum → rysa dyskretna



## Formy pęknięcia



Forma (*mode*):

- I. Rozrywanie – na skutek rozciągania lub zginania, pęknięcie w kierunku prostopadłym do sił
- II. Poprzeczne ścinanie – powierzchnie rysy przesuwiają się w kierunku prostopadłym do frontu rysy
- III. Podłużne ścinanie – powierzchnie rysy przesuwiają się w kierunku równoległym do frontu rysy

## Naprężenie w wierzchołku rysy

W liniowo sprężystym modelu mechaniki pęknięcia (*LEFM*) w wierzchołku rysy (*crack tip*) niektóre składowe tensora naprężenia mogą zmierzać do nieskończoności (osobliwość), zakłada się zachowanie sprężyste wszędzie z wyjątkiem nieskończonego małego otoczenia wierzchołka rysy oraz brak naprężeń na powierzchni rysy.

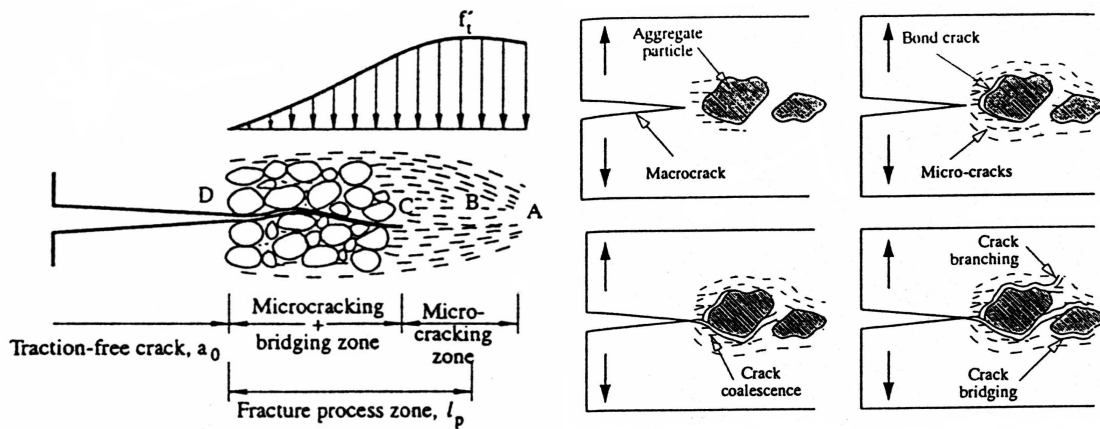
Dla określenia stanu krytycznego osobliwości wprowadzono pojęcie współczynnika intensywności naprężeń (*SIF*), określającego koncentrację naprężeń i oznaczanego dla I formy pęknięcia  $K_I$ . Jeśli np. wytrzymałość na pęknięcie stali  $K_{cr}=50\text{MPa}\cdot\text{m}^{0.5}$  to przy  $K_I \geq K_{cr}$  rysa się propaguje.

Można oszacować, jaka jest długość propagacji rysy (*crack growth length*) i kierunek propagacji, a także jaka jest prędkość zmniejszania się energii potencjalnej ciała przy wzroście rysy.

Wiemy, że nośność materiału jest skończona i nie może przekroczyć wartości naprężenia krytycznego (granicy plastyczności, wytrzymałości). Dlatego w nieliniowej mechanice pęknięcia (*NLFM*) przed frontem rysy zakłada się pewną strefę niesprężystą.

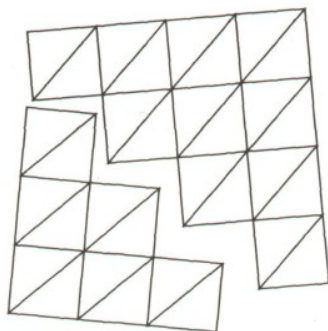
# Nieliniowa mechanika pękania

Zjawiska zachodzące wokół frontu rysy w materiale niejednorodnym

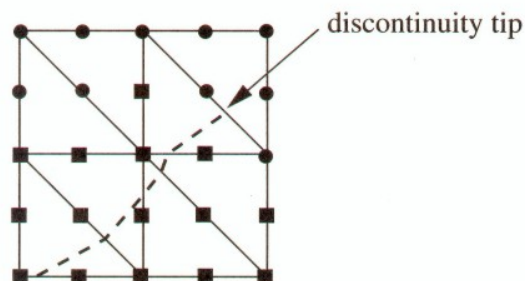


## Modele nieciągłości [7]

Możliwy jest opis ośrodka nieciągłego, w którym części składowe są połączone interfejsem lub występują pęknięcia (rysy dyskretne). W tym celu stosuje się interfejsowe elementy skończone lub podejście XFEM.

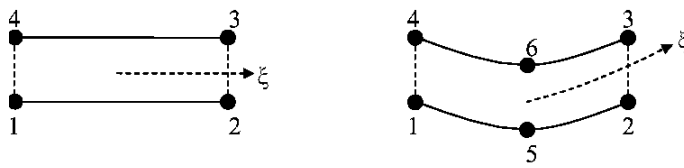


Dyskretne interfejsy  
wzdłuż granic  
elementów skończonych

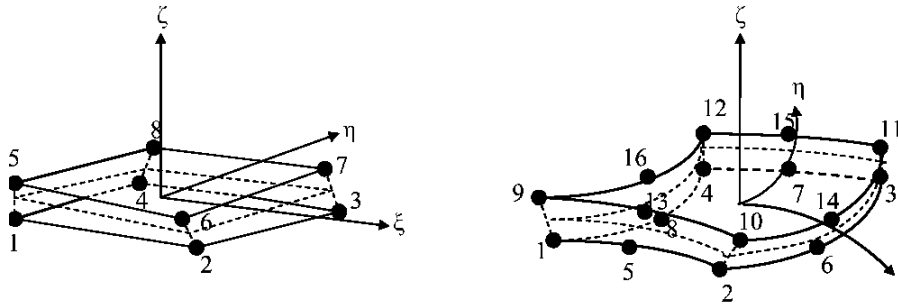


Metoda podziału jednostki  
– rysa biegnie  
dowolnie przez elementy

# Interfejsowe elementy skończone 2D i 3D



Podstawowa niewiadoma:  
przemieszczenie względne dwóch ścian/stron interfejsu



Interfejsy mają zazwyczaj nieliniowe charakterystyki, reprezentując np. tarcie, adhezję, pęknięcie.

## Elementy interfejsowe

$$\mathbf{t} = \mathbf{D} \Delta \mathbf{u}$$

Dla interfejsu 2D w modelu 3D:

$$\mathbf{t} = [t_n \ t_t \ t_s]^T$$

Względne przemieszczenie  $\Delta \mathbf{u}$  stron (A) i (B) interfejsu

$$\Delta \mathbf{u} = [\Delta u_n \ \Delta u_t \ \Delta u_s]^T$$

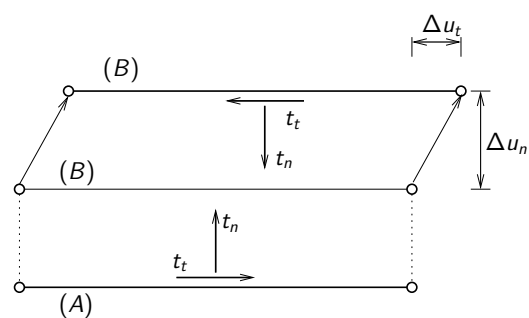
$$\mathbf{u} = [u_n^{(A)} \ u_n^{(B)} \ u_t^{(A)} \ u_t^{(B)} \ u_s^{(A)} \ u_s^{(B)}]^T$$

$$\Delta \mathbf{u} = \mathbf{L} \mathbf{u}, \quad \mathbf{u} = \mathbf{N} \mathbf{d}^e$$

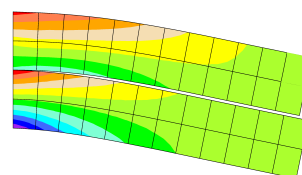
$$\mathbf{L} = \begin{bmatrix} -1 & 1 & 0 & 0 & 0 & 0 \\ 0 & 0 & -1 & 1 & 0 & 0 \\ 0 & 0 & 0 & 0 & -1 & 1 \end{bmatrix}$$

$$\Delta \mathbf{u} = \mathbf{L} \mathbf{N} \mathbf{d}^e$$

Interfejs w modelu 2D

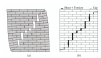
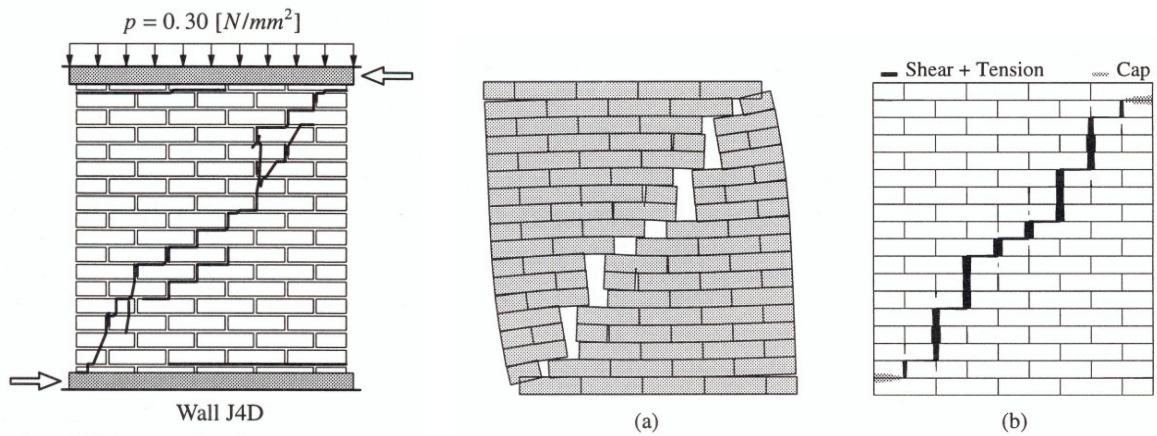


Przykłady zastosowania



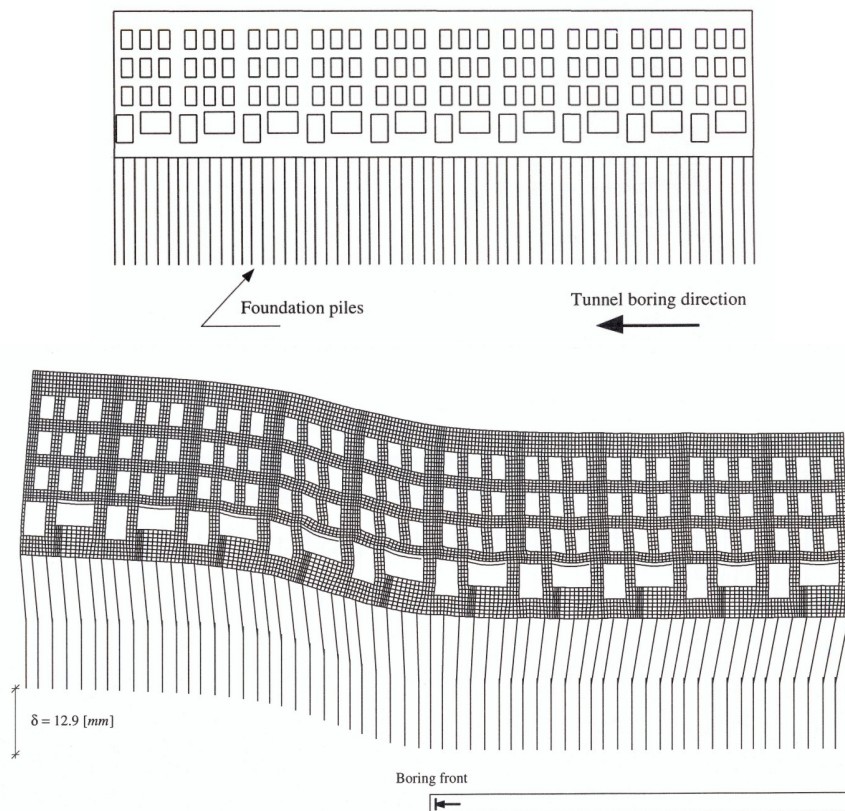
Zarysowanie przy zginaniu

# Symulacja zarysowania w murach pakietem DIANA [8]



Animacja zarysowania przy ścinaniu

# Budowa metra w Amsterdamie (Noord/Zuidlijn)



# Literatura

-  [1] M. JIRÁSEK AND Z.P. BAŽANT. *Inelastic Analysis of Structures*. J. Wiley & Sons, Chichester, 2002.
-  [2] J. LEMAITRE AND J.-L. CHABOCHE. *Mechanics of Solid Materials*. Cambridge University Press, 1990.
-  [3] M.G.D. GEERS. *Continuum Damage Mechanics. Fundamentals, Higher-order Theories and Computational Aspects*. Lecture notes, Eindhoven University of Technology, 1998.
-  [4] J. SKRZYPEK. *Podstawy mechaniki uszkodzeń*. Wydawnictwo Politechniki Krakowskiej, 2006.
-  [5] M. DI PRISCO, M.L. CARUSO AND S. PIATTI. On fiber role in dowel action. *Studi e Ricerche*, Politecnico di Milano, 15, 1994.
-  [6] W. KARMOWSKI. *Podstawy mechaniki pękania*. Wydawnictwo Politechniki Krakowskiej, 1979.
-  [7] G. N. WELLS. *Discontinuous modelling of strain localisation and failure*, *Doctoral dissertation, Delft University of Technology, 2001*.
-  [8] P.B. LOURENCO. *Computational strategies for masonry structures*. *Doctoral dissertation, Delft University of Technology, 1996*.

# Pytania

1. Wyjaśnić sens naprężenia efektywnego w modelu uszkodzenia. Objaśnić związek konstytutywny w skalarnym modelu uszkodzenia dla 3D.
2. Jakie wyróżnia się formy pękania? Czym różni się teoria liniowo sprężystej od nieliniowej mechaniki pękania? Co określa współczynnik intensywności naprężeń?
3. Jak można uwzględnić nieciągłości w analizie MES? Jakie wielkości fizyczne wiążą ze sobą związki fizyczne w elementach interfejsowych? Do czego się ich używa w modelowaniu MES?
4. Zilustrować i zapisać związki dla abstrakcyjnego zagadnienia kontaktowego.